

Starkniederschlagshöhen und -spenden gemäß KOSTRA-DWD-2020

Rasterfeld 84194

(Zeile 84, Spalte 194)

Regenspende und Bemessungsniederschlagswerte in Abhängigkeit von Wiederkehrzeit T und Dauerstufe D

| Dauerstufe D | | Wiederkehrzeit T | | | | | | | | | | | | | | | | | |
|--------------|-----|------------------|------------|------|------------|------|------------|------|------------|------|------------|-------|------------|-------|------------|-------|------------|-------|------------|
| | | 1 a | | 2 a | | 3 a | | 5 a | | 10 a | | 20 a | | 30 a | | 50 a | | 100 a | |
| min | Std | mm | l / (s ha) | mm | l / (s ha) | mm | l / (s ha) | mm | l / (s ha) | mm | l / (s ha) | mm | l / (s ha) | mm | l / (s ha) | mm | l / (s ha) | mm | l / (s ha) |
| 5 | | 6,4 | 213,3 | 8,0 | 266,7 | 9,0 | 300,0 | 10,4 | 346,7 | 12,3 | 410,0 | 14,3 | 476,7 | 15,6 | 520,0 | 17,3 | 576,7 | 19,7 | 656,7 |
| 10 | | 8,4 | 140,0 | 10,6 | 176,7 | 11,9 | 198,3 | 13,7 | 228,3 | 16,2 | 270,0 | 18,9 | 315,0 | 20,6 | 343,3 | 22,8 | 380,0 | 26,0 | 433,3 |
| 15 | | 9,7 | 107,8 | 12,1 | 134,4 | 13,7 | 152,2 | 15,7 | 174,4 | 18,6 | 206,7 | 21,6 | 240,0 | 23,6 | 262,2 | 26,2 | 291,1 | 29,9 | 332,2 |
| 20 | | 10,6 | 88,3 | 13,3 | 110,8 | 14,9 | 124,2 | 17,2 | 143,3 | 20,3 | 169,2 | 23,6 | 196,7 | 25,8 | 215,0 | 28,6 | 238,3 | 32,6 | 271,7 |
| 30 | | 11,8 | 65,6 | 14,9 | 82,8 | 16,8 | 93,3 | 19,2 | 106,7 | 22,8 | 126,7 | 26,5 | 147,2 | 28,9 | 160,6 | 32,0 | 177,8 | 36,6 | 203,3 |
| 45 | | 13,2 | 48,9 | 16,6 | 61,5 | 18,7 | 69,3 | 21,4 | 79,3 | 25,4 | 94,1 | 29,5 | 109,3 | 32,2 | 119,3 | 35,7 | 132,2 | 40,7 | 150,7 |
| 60 | 1 | 14,2 | 39,4 | 17,8 | 49,4 | 20,1 | 55,8 | 23,0 | 63,9 | 27,3 | 75,8 | 31,7 | 88,1 | 34,6 | 96,1 | 38,3 | 106,4 | 43,8 | 121,7 |
| 90 | 1,5 | 15,6 | 28,9 | 19,7 | 36,5 | 22,1 | 40,9 | 25,4 | 47,0 | 30,1 | 55,7 | 35,0 | 64,8 | 38,2 | 70,7 | 42,3 | 78,3 | 48,3 | 89,4 |
| 120 | 2 | 16,7 | 23,2 | 21,0 | 29,2 | 23,7 | 32,9 | 27,2 | 37,8 | 32,2 | 44,7 | 37,4 | 51,9 | 40,8 | 56,7 | 45,3 | 62,9 | 51,7 | 71,8 |
| 180 | 3 | 18,4 | 17,0 | 23,1 | 21,4 | 26,0 | 24,1 | 29,9 | 27,7 | 35,4 | 32,8 | 41,1 | 38,1 | 44,9 | 41,6 | 49,8 | 46,1 | 56,8 | 52,6 |
| 240 | 4 | 19,6 | 13,6 | 24,7 | 17,2 | 27,8 | 19,3 | 31,9 | 22,2 | 37,8 | 26,3 | 44,0 | 30,6 | 47,9 | 33,3 | 53,2 | 36,9 | 60,7 | 42,2 |
| 360 | 6 | 21,5 | 10,0 | 27,1 | 12,5 | 30,5 | 14,1 | 35,0 | 16,2 | 41,5 | 19,2 | 48,2 | 22,3 | 52,6 | 24,4 | 58,3 | 27,0 | 66,5 | 30,8 |
| 540 | 9 | 23,6 | 7,3 | 29,7 | 9,2 | 33,4 | 10,3 | 38,4 | 11,9 | 45,5 | 14,0 | 52,8 | 16,3 | 57,6 | 17,8 | 63,9 | 19,7 | 72,9 | 22,5 |
| 720 | 12 | 25,2 | 5,8 | 31,6 | 7,3 | 35,6 | 8,2 | 40,9 | 9,5 | 48,5 | 11,2 | 56,3 | 13,0 | 61,4 | 14,2 | 68,1 | 15,8 | 77,7 | 18,0 |
| 1080 | 18 | 27,6 | 4,3 | 34,6 | 5,3 | 39,0 | 6,0 | 44,8 | 6,9 | 53,1 | 8,2 | 61,6 | 9,5 | 67,2 | 10,4 | 74,6 | 11,5 | 85,1 | 13,1 |
| 1440 | 24 | 29,4 | 3,4 | 36,9 | 4,3 | 41,6 | 4,8 | 47,7 | 5,5 | 56,6 | 6,6 | 65,7 | 7,6 | 71,7 | 8,3 | 79,5 | 9,2 | 90,7 | 10,5 |
| 2880 | 48 | 34,3 | 2,0 | 43,1 | 2,5 | 48,5 | 2,8 | 55,7 | 3,2 | 66,0 | 3,8 | 76,7 | 4,4 | 83,6 | 4,8 | 92,8 | 5,4 | 105,8 | 6,1 |
| 4320 | 72 | 37,5 | 1,4 | 47,1 | 1,8 | 53,1 | 2,0 | 60,9 | 2,3 | 72,2 | 2,8 | 83,9 | 3,2 | 91,5 | 3,5 | 101,5 | 3,9 | 115,8 | 4,5 |
| 5760 | 96 | 40,0 | 1,2 | 50,2 | 1,5 | 56,6 | 1,6 | 65,0 | 1,9 | 77,0 | 2,2 | 89,4 | 2,6 | 97,5 | 2,8 | 108,2 | 3,1 | 123,4 | 3,6 |
| 7200 | 120 | 42,0 | 1,0 | 52,8 | 1,2 | 59,5 | 1,4 | 68,2 | 1,6 | 80,9 | 1,9 | 93,9 | 2,2 | 102,5 | 2,4 | 113,7 | 2,6 | 129,7 | 3,0 |
| 8640 | 144 | 43,7 | 0,8 | 55,0 | 1,1 | 61,9 | 1,2 | 71,1 | 1,4 | 84,2 | 1,6 | 97,8 | 1,9 | 106,7 | 2,1 | 118,3 | 2,3 | 135,0 | 2,6 |
| 10080 | 168 | 45,2 | 0,7 | 56,9 | 0,9 | 64,1 | 1,1 | 73,5 | 1,2 | 87,2 | 1,4 | 101,2 | 1,7 | 110,4 | 1,8 | 122,5 | 2,0 | 139,7 | 2,3 |

Starkniederschlagshöhen und -spenden gemäß KOSTRA-DWD-2020

Rasterfeld 84194

(Zeile 84, Spalte 194)

Örtliche Unsicherheiten in Abhängigkeit von Wiederkehrzeit T und Dauerstufe D

| Dauerstufe D | | Wiederkehrzeit T | | | | | | | | |
|--------------|-----|------------------|-----|-----|-----|------|------|------|------|-------|
| | | 1 a | 2 a | 3 a | 5 a | 10 a | 20 a | 30 a | 50 a | 100 a |
| min | Std | ± % | ± % | ± % | ± % | ± % | ± % | ± % | ± % | ± % |
| 5 | | 13 | 13 | 12 | 13 | 13 | 13 | 14 | 14 | 14 |
| 10 | | 11 | 13 | 14 | 15 | 16 | 17 | 17 | 18 | 19 |
| 15 | | 12 | 15 | 16 | 17 | 18 | 19 | 20 | 21 | 21 |
| 20 | | 14 | 16 | 17 | 18 | 20 | 21 | 21 | 22 | 23 |
| 30 | | 15 | 17 | 19 | 20 | 21 | 22 | 23 | 24 | 24 |
| 45 | | 15 | 18 | 19 | 21 | 22 | 23 | 24 | 25 | 25 |
| 60 | 1 | 15 | 18 | 20 | 21 | 22 | 24 | 24 | 25 | 25 |
| 90 | 1,5 | 15 | 18 | 19 | 21 | 22 | 23 | 24 | 25 | 25 |
| 120 | 2 | 15 | 18 | 19 | 20 | 22 | 23 | 24 | 24 | 25 |
| 180 | 3 | 14 | 17 | 18 | 20 | 21 | 22 | 23 | 23 | 24 |
| 240 | 4 | 14 | 16 | 18 | 19 | 20 | 21 | 22 | 23 | 23 |
| 360 | 6 | 13 | 16 | 17 | 18 | 19 | 21 | 21 | 22 | 22 |
| 540 | 9 | 13 | 15 | 16 | 17 | 18 | 20 | 20 | 21 | 21 |
| 720 | 12 | 12 | 14 | 15 | 17 | 18 | 19 | 19 | 20 | 21 |
| 1080 | 18 | 12 | 14 | 15 | 16 | 17 | 18 | 19 | 19 | 20 |
| 1440 | 24 | 12 | 14 | 15 | 16 | 17 | 18 | 18 | 19 | 19 |
| 2880 | 48 | 13 | 14 | 14 | 15 | 16 | 17 | 17 | 18 | 18 |
| 4320 | 72 | 14 | 14 | 15 | 15 | 16 | 17 | 17 | 17 | 18 |
| 5760 | 96 | 15 | 15 | 15 | 16 | 16 | 17 | 17 | 17 | 18 |
| 7200 | 120 | 16 | 15 | 16 | 16 | 16 | 17 | 17 | 17 | 18 |
| 8640 | 144 | 16 | 16 | 16 | 16 | 17 | 17 | 17 | 18 | 18 |
| 10080 | 168 | 17 | 16 | 16 | 17 | 17 | 17 | 18 | 18 | 18 |

Parameter für abweichende T und D

Lokationsparameter ξ (Xi)

14,56540816

Skalenparameter α (Alpha)

5,20241434

Formparameter κ (Kappa)

-0,1

1. Koutsoyiannis-Parameter θ (Theta)

0,03517206

2. Koutsoyiannis-Parameter η (Eta)

0,77863297

Parameter für dauerstufenübergreifende Extremwertschätzung nach KOUTSOYIANNIS et al. 1998.

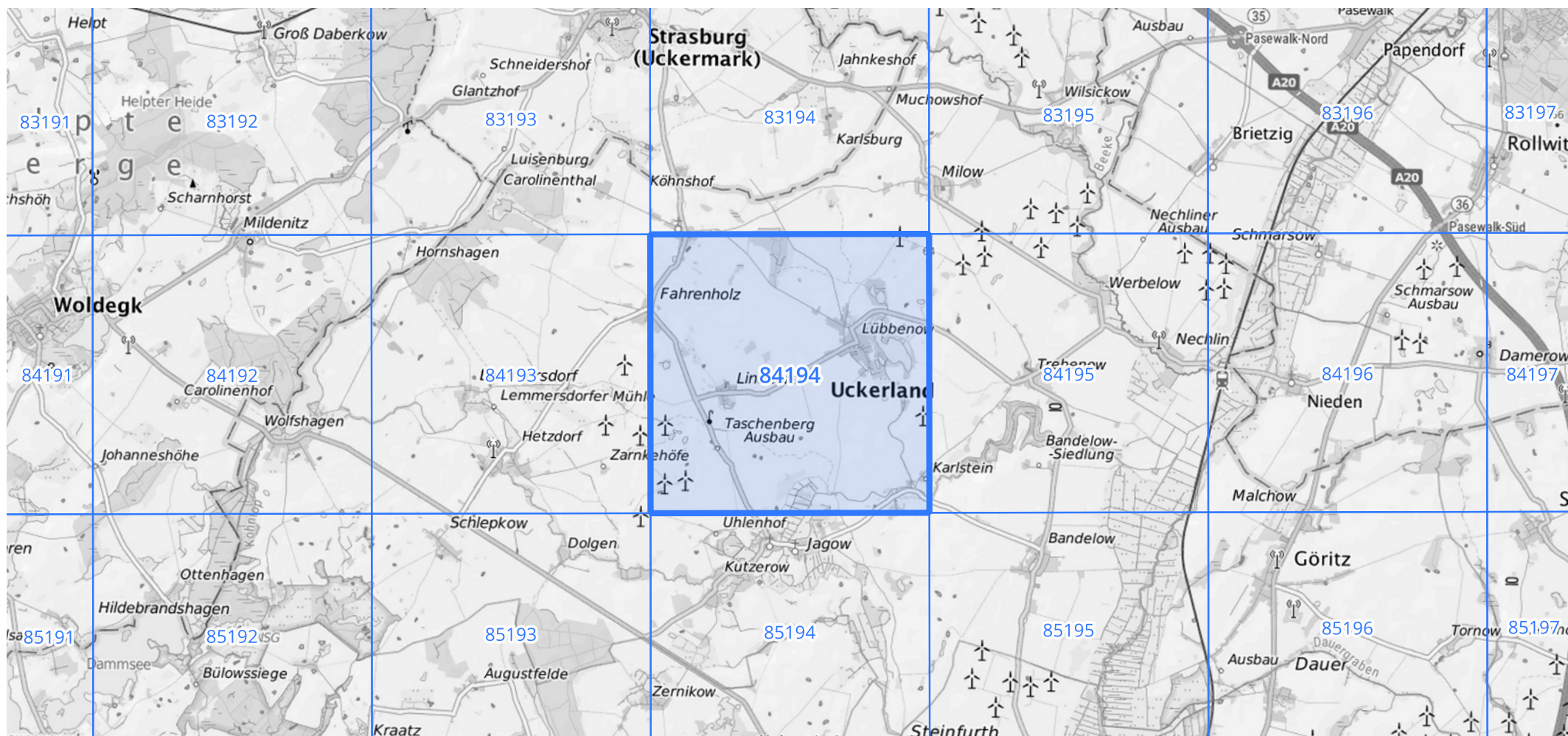
Siehe auch Anwendungshilfe zu KOSTRA-DWD-2020 des Deutschen Wetterdienstes.

Starkniederschlagshöhen und -spenden gemäß KOSTRA-DWD-2020

Rasterfeld 84194

(Zeile 84, Spalte 194)

Übersichtskarte des Rasterfeldes 84194, M 1 : 100 000



Quelle Rasterdaten: KOSTRA-DWD-2020 des Deutschen Wetterdienstes, Stand 12/2022.

Seite 3 von 3

Kartendarstellung: © Bundesamt für Kartographie und Geodäsie (2023), Datenquellen: https://sgx.geodatenzentrum.de/web_public/gdz/datenquellen/Datenquellen_TopPlusOpen.html

Für die Richtigkeit und Aktualität der Angaben wird keine Gewähr übernommen. Erstellt 01/2023.